

А. А. Каминский, М. Ф. Селиванов, Ю. А. Черноиван

О ДОКРИТИЧЕСКОМ РАСПРОСТРАНЕНИИ ТРЕЩИНЫ
ПРОДОЛЬНОГО СДВИГА В ВЯЗКОУПРУГОМ КОМПОЗИТНОМ ТЕЛЕ

*Институт механики им. С.П. Тимошенко НАНУ,
ул. Нестерова, 3, 03057, Киев, Украина; e-mail: fract@inmech.kiev.ua*

Abstract. In the framework of nonlinear fracture mechanics, the equations of a crack mode III growth in the composite material with the linearly viscoelastic components are obtained. The study is carried out using two models of a crack growth: the model with constant length of the prefracture zone and the model with constant shear stress in this zone. The solving scheme is offered and applied to obtain a numerical solution in the form of kinetic curves of the crack growth. An analysis of findings is given.

Keywords: Subcritical crack growth, linear viscoelasticity, mode III, prefracture zone.

Введение.

Изучение механизмов и закономерностей разрушения современных композитных материалов с вязкоупругими свойствами, как актуальная проблема механики разрушения, требует построения эффективных методов решения задач, связанных с развитием трещин при взаимодействии разных типов нагрузки на тела из композитных материалов [1, 2]. До сих пор основное внимание уделялось изучению развития трещин в условиях нормального отрыва [2, 4, 12]. Исследование задач о распространении трещин продольного сдвига выполнено в [9, 10] в рамках концепций линейной механики разрушения с использованием упрощений в постановке задачи (изотропный материал, специальная форма зависимости вязкоупругих характеристик от времени). В [8, 11, 13, 14, 16] разработаны эффективные методики, с помощью которых можно на основе характеристик вязкоупругого поведения компонентов композитного материала и принципа Вольтерра построить систему определяющих уравнений, численное решение которой предоставляет возможность строить кинетические кривые развития трещин с немалыми зонами предразрушения.

В данной работе на основе имеющихся результатов приведены схемы построения решения задачи о докритическом распространении трещины продольного сдвига в композитном материале, компоненты которого обладают вязкоупругими свойствами. Определяющие уравнения построены для двух основных моделей распространения трещины в материале с вязкоупругими свойствами: модели неизменности длины зоны предразрушения во время ее роста и модели неизменности равномерно распределенных напряжений в этой зоне.

1. Постановка задачи. Применяемые модели.

Рассмотрим композитный материал с однонаправленным армированием дискретными трансверсально-изотропными волокнами. Волокно моделируем эллипсоидом вращения; отношение большей оси эллипсоида к меньшей обозначим k , концентрацию фазы армирования – c_1 . Примем, что материалы обеих фаз проявляют вязкоупругие свойства, которые обуславливают наследственное поведение композита.

Исследуем длительное разрушение вязкоупругого композитного тела со сквозной трещиной. На бесконечности на тело действуют усилия T в нормальном к оси x_1 направлении (рис. 1, а).

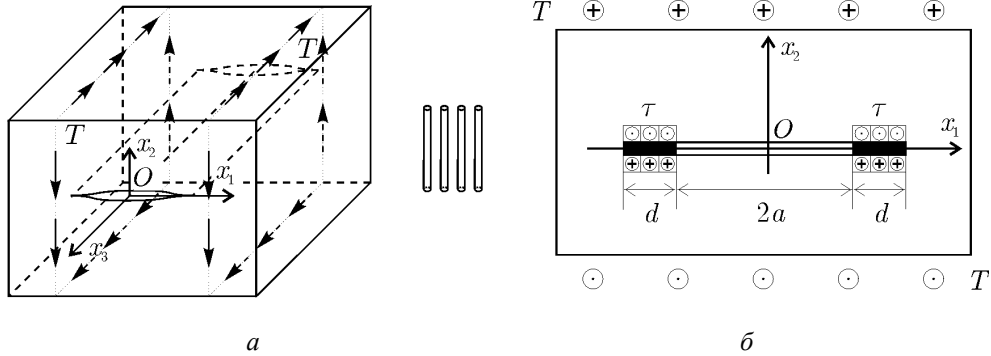


Рис. 1

Деформирование тела из композитного материала происходит в условиях плоской деформации. Трещина расположена в одной из плоскостей симметрии механических свойств композита и при своем развитии не выходит из нее. Это предположение выполняется для композитов с высокой степенью адгезии, не предрасположенных к расслоению. Рассмотрим случай, когда направление армирования нормально относительно плоскости трещины, т.е. совпадает с направлением оси x_2 (рис. 1).

Для исследования кинетики развития трещины используем определяющие уравнения докритического развития трещины, аналогичные полученным в работе [3, раздел 3]. В основе построения этих уравнений лежит модель трещины с зоной предразрушения.

Трещину-щель в вязкоупругом композите представим как разрез, берега которого имеют два характерных участка: на одном берега взаимодействуют, на другом – нет [7, 14]. При этом взаимодействие берегов происходит в узких зонах предразрушения на краях трещины (рис. 1 б). При продольном сдвиге распространение трещины сдерживается материалом в зоне вершины трещины, пока сдвиг берегов в зоне вершины не превысит критического значения (δ_{III*}), [1, 6, 7]

$$2w(t)|_{x_1=a} \equiv \Delta(t)|_{x_1=a} = \delta_{III*}, \quad (1)$$

где $2a$ – размер трещины; $w(t)$ – смещение вдоль оси x_3 ; t – время.

При моделировании противодействия материала в зоне устья трещины (зоне предразрушения) соответствующими касательными напряжениями будем использовать одну из двух концепций.

1. Напряжения τ равномерно распределены вдоль берегов зоны предразрушения $d(t)$ и не изменяются на протяжении периода докритического роста (концепция $\tau = \text{const}$);

2. Напряжения $\tau(t)$ равномерно распределены по берегам зоны предразрушения, размер которой во время роста трещины сохраняет постоянное значение d (концепция $d = \text{const}$).

Распространение трещины определяется как процесс перехода точек области, где есть взаимодействие берегов, в область, где оно отсутствует.

Для характеристики продолжительной трещиностойкости в данной работе используем такие параметры: геометрический параметр $\eta_* = a_* / a_0$, где a_0 и a_* – начальный и критический полуразмеры трещины, соответственно; при использовании

концепции $\tau = \text{const}$ введем силовой параметр, который равняется отношению интенсивности касательных напряжений в зоне предразрушения к интенсивности внешней нагрузки $\rho_2 = \tau / T$; при использовании концепции $d = \text{const}$ вводим геометрический параметр $\rho = d / a_0$.

2. Вязкоупругое смещение берегов трещины.

Вязкоупругое смещение на продолжении трещины определяем на основе решения задачи об упругом раскрытии в ортотропном теле в условиях плоской деформации. С этой целью воспользуемся принципом упруго-вязкоупругой аналогии, являющимся аналогом принципа Вольтерра, который получил обоснование для аналогичных задач [3]. Согласно этому принципу в выражении для смещений берегов на продолжении трещины заменим упругие модули соответствующими преобразованными величинами и воспользуемся обратным преобразованием.

В случае, когда релаксационные свойства материалов компонентов композита можно описать в рамках линейной теории вязкоупругости, эффективные модули представим рядом функций Миттаг – Леффлера [15]

$$\lambda_{ij}(t) = \lambda_{(ij)\infty} + \sum_{k=1}^n \mu_{(ij)k} E_{\alpha_{(ij),1}} \left\{ -\beta_{(ij)k} t^{\alpha_{(ij)}} \right\}; \quad E_{\alpha,\delta}(x) = \sum_{n=0}^{\infty} \frac{x^n}{\Gamma[\alpha n + \delta]}. \quad (2)$$

При проведении вычислений оставим лишь одно слагаемое в выражении (2) и используем один параметр α функции Миттаг – Леффлера для описания долговременных свойств материалов компонентов композита с целью качественного исследования результатов. Примем также, что материалы компонентов композита являются изотропными (механические свойства описываем модулем Юнга E и коэффициентом Пуассона ν). Отметим, что ни одно из этих упрощений не обусловлено использованным методом решения поставленной задачи.

При указанных упрощениях выражение (2) в области преобразования принимает вид

$$\tilde{E}^{(i)}(s) = E_{\infty}^{(i)} + \left(E_0^{(i)} - E_{\infty}^{(i)} \right) \frac{s^{\alpha}}{s^{\alpha} + \beta^{(i)}}, \quad (3)$$

где $\tilde{E}(s) = s\bar{E}(s)$, $\bar{E}(s)$ – преобразование Лапласа функции $E(t)$; E_0 – мгновенное значение модуля; $i=1$ отвечает армированию, $i=2$ – наполнителю.

Композит с однонаправленными короткими волокнами моделируем трансверсально-изотропным телом с приведёнными характеристиками [8]. Рассмотрим продольный сдвиг этого тела, когда плоскость изотропии перпендикулярна оси x_2 (рис. 1). Таким образом, сдвиг происходит в плоскости, перпендикулярной к плоскости расположения трещины.

Обобщенный закон Гука имеет вид $\gamma_{23} = a_{44}\tau_{23}$, $\gamma_{13} = a_{66}\tau_{13}$, где a_{ij} – компоненты тензора податливости трансверсально-изотропного тела с осью симметрии вращения, которая совпадает с осью x_3 .

Исходя из симметрии задачи, трещину рассматриваем как разрез вдоль оси x_1 , при этом на участке $a < x_1 \leq a + d$ касательные напряжения, которые стягивают берега трещины, распределены равномерно с интенсивностью τ . Общая длина разреза $2(a + d)$ определяется в ходе решения задачи. Поэтому краевую задачу линейной теории упругости сформулируем так: в упругой области есть разрез по оси x_1 длиной $2(a + d)$ с центром в начале координат; на поверхности разреза действуют напряжения

$$\sigma_{11}(x_1, 0) = 0; \quad \sigma_{22}(x_1, 0) = 0; \quad \tau_{23} = \begin{cases} 0, & x_1 \leq a; \\ \tau, & a < x_1 \leq a + d. \end{cases}$$

В бесконечно отдаленных точках плоскости приложена внешняя нагрузка интенсивности $\tau_{23}(x_1, \infty) = T$. Сдвиг берегов трещины длины $2a$ в точке $(x_1, 0)$ представим на основе результатов работы [7] в форме

$$\delta(x_1, a) = L T a \delta_0(s; \rho_i) \quad (s = x_1 / a, \quad i = \overline{1, 5}); \quad (4)$$

$$\delta_0(s; \rho_i) = \rho_3 \operatorname{Re}\{(1-b)t_1 + t_2 + (s+1)t_3 + (s-1)t_4\} + 2(1-\rho_2)t_5,$$

причем величины b , t_3 , t_4 и t_5 зависят от геометрического параметра s ;

$$\begin{aligned} t_1 &= \ln \frac{d_2}{d_1}; \quad t_2 = \ln \frac{d_3}{d_2}; \quad t_3 = \ln \frac{d_2 - \bar{b}}{d_3 - \bar{b}}; \quad t_4 = \ln \frac{d_4 - \bar{b}}{d_2 - \bar{b}}; \quad t_5 = \sqrt{\rho_5 - s^2}; \\ d_1 &= 1 + i\rho_4; \quad d_2 = -1 + i\rho_4; \quad d_3 = -1 - i\rho_4; \quad d_4 = 1 - i\rho_4; \quad b = s + it_5; \\ \rho_2 &= \tau / T; \quad \rho_3 = 2\rho_2 / \pi; \quad \rho_4 = \rho_3^{-1}; \quad \rho_5 = 1 + \rho_4^2. \end{aligned} \quad (5)$$

Параметр ρ_5 связан с параметрами модели таким образом:

$$\rho_5 = (1 + \rho_1)^2, \quad \rho_1 = d / a. \quad (6)$$

Условие конечности напряжений τ_{23} в точке $(a + d, 0)$, которое используется при получении выражения (4), во введенных обозначениях имеет вид

$$\rho_2 = \pi / 2 \operatorname{arctg} \sqrt{(1 + \rho_1)^2 - 1}, \quad (7)$$

откуда следует утверждение о постоянстве величины ρ_1 во время распространения трещины в случае использования концепции $\tau = \operatorname{const}$ и постоянной интенсивности внешней нагрузки. В этом случае из выражений (5) – (7) следует, что величины ρ_i , $i = \overline{1, 5}$, являются постоянными и зависят только от параметра ρ_2 , введенного в п. 1 как относительный параметр трещиностойкости для концепции $\tau = \operatorname{const}$. С ростом трещины увеличивается длина зоны предразрушения.

В случае использования концепции $d = \operatorname{const}$ при росте трещины величина ρ_2 увеличивается и, таким образом, увеличивается напряжение в зоне предразрушения при постоянных интенсивностях внешней нагрузки. Величины ρ_i , $i = \overline{1, 5}$, в этом случае зависят от размера трещины. Учитывая выбор второго параметра трещиностойкости, в рамках этой концепции величины ρ_i выражения для раскрытия трещины (4), вычисляем в обратном порядке

$$\rho_5 = [1 + \rho / (a / a_0)]^2; \quad \rho_4 = \sqrt{\rho_5 - 1}; \quad \rho_3 = \arctan^{-1} \rho_4; \quad \rho_2 = \pi \rho_3 / 2.$$

Раскрытие в вершине трещины, согласно (4), имеет вид

$$\delta(a, a) = L T a \delta_0(1; \rho_i) = L T a \rho_6; \quad \rho_6 = -2\rho_3 \operatorname{Incos} \rho_3^{-1}. \quad (8)$$

В выражениях (4) и (8) характеристика L , связанная со свойствами материала, определяется следующим образом [7]:

$$L = L(a_{ij}) = 1 / \sqrt{\lambda_{44} \lambda_{55}}, \quad (9)$$

где λ_{ij} – эффективные модули композита с однонаправленными дискретными волокнами. Эти модули приведем для направления оси симметрии вращения, которое совпадает с направлением оси Ox_3 . Для выбранных направлений координатных осей ось симметрии вращения совпадает с направлением оси Ox_2 , но здесь оставим λ_{ij} в форме для оси симметрии вращения вдоль Ox_3 , т.е. в таком виде, как они получены в [8]:

$$\lambda_{44} = \langle \lambda_{44} \rangle + \frac{4c_1c_2\lambda_{44}^{[3]^2}K_5}{1-4\lambda'_{44}K_5}; \quad \lambda_{66} = 12(\langle \lambda_{11} \rangle - \langle \lambda_{12} \rangle) + \frac{c_1c_2(\lambda_{11}^{[3]} - \lambda_{12}^{[3]})^2K_2}{1-2(\lambda'_{11} - \lambda'_{12})K_2},$$

где c_1 – объемное содержание армирования, $c_2 = 1 - c_1$ – наполнителя;

$$\langle \lambda_{ij} \rangle = c_1\lambda_{ij}^{(1)} + c_2\lambda_{ij}^{(2)}; \quad \lambda_{ij} = c_1\lambda_{ij}^{(2)} + c_2\lambda_{ij}^{(1)} - \lambda_{ij}^c; \quad \lambda_{ij}^{[3]} = \lambda_{ij}^{(2)} - \lambda_{ij}^{(1)};$$

знак ⁽¹⁾, как и раньше, отвечает характеристике армирования, ⁽²⁾ – наполнителя;

$$K_2 = \lambda_{44}^c E_1 + \left(\frac{\lambda_{33}^c}{k^2} - 2\lambda_{44}^c \right) E_2 - \left(\frac{\lambda_{33}^c}{k^2} - \lambda_{44}^c \right) E_3 + F_1 - F_2;$$

$$K_5 = \lambda_{11}^c E_1 - 2 \left(\lambda_{11}^c + \frac{\lambda_{13}^c}{k^2} \right) E_2 + \left(\lambda_{11}^c + \frac{2\lambda_{13}^c}{k^2} + \frac{\lambda_{33}^c}{k^4} \right) E_3 + F_2;$$

$$E_n = -\frac{1}{8\lambda_{11}^c\lambda_{44}^c} \int_0^1 \frac{x^{2(n-1)}}{\Delta_1(x)} dx; \quad F_n = -\frac{1}{8\lambda_{66}^c} \int_0^1 \frac{x^{2(n-1)}}{\Delta_2(x)} dx;$$

$$\Delta_1(x) = (1-x^2)^2 + \frac{2\bar{p}}{k^2} x^2(1-x^2) + \frac{\bar{q}}{k^4} x^4; \quad \Delta_2(x) = 1 + \left(\frac{\bar{\mu}}{k^2} - 1 \right) x^2;$$

$$\bar{p} = \frac{\lambda_{11}^c\lambda_{33}^c - \lambda_{13}^c(\lambda_{13}^c + 2\lambda_{44}^c)}{2\lambda_{11}^c\lambda_{44}^c}; \quad \bar{q} = \frac{\lambda_{33}^c}{\lambda_{11}^c}; \quad \bar{\mu} = \frac{\lambda_{44}^c}{\lambda_{66}^c},$$

где коэффициент k – отношение продольного и поперечного размеров эллипсоида вращения, которым моделируется волокно.

В случае, когда материалы компонент композита являются изотропными ($\lambda^{(1)}$ и $\mu^{(1)}$ – преобразованные характеристики Ламе волокон, $\lambda^{(2)}$ и $\mu^{(2)}$ – наполнителя), имеем:

при $\lambda^{(1)} > \lambda^{(2)}$ –

$$\lambda_{13}^c = \frac{s_1}{\Delta_c}; \quad \lambda_{11}^c + \lambda_{12}^c = \frac{s_3}{\Delta_c}; \quad \lambda_{33}^c = \frac{s_4}{\Delta_c}; \quad \lambda_{44}^c = \lambda_{66}^c = \frac{1}{\langle 1/\mu \rangle}; \quad \Delta_c = s_3s_4 - 2s_2^2;$$

$$s_1 = \left\langle \frac{\lambda}{\Delta_s} \right\rangle; \quad s_3 = \left\langle \frac{2(\lambda + \mu)}{\Delta_s} \right\rangle; \quad s_4 = \left\langle \frac{\lambda + 2\mu}{\Delta_s} \right\rangle; \quad \Delta_s = 2(3\lambda + 2\mu)\mu;$$

при $\lambda^{(1)} < \lambda^{(2)}$ –

$$\lambda_{11}^c = \langle \lambda_{11} \rangle; \quad \lambda_{12}^c = \langle \lambda_{12} \rangle; \quad \lambda_{13}^c = \langle \lambda_{13} \rangle; \quad \lambda_{33}^c = \langle \lambda_{33} \rangle; \quad \lambda_{44}^c = \langle \lambda_{44} \rangle.$$

В соответствии с принципом упруго-вязкоупругой аналогии [5], заменим зависящие от времени характеристики релаксации $E^{(i)}(t)$ соответствующими преобразованными величинами $\tilde{E}^{(i)}(s)$ (согласно (3)), предварительно переписав характеристики Ламе через модуль упругости E , который используется для описания наследственных характеристик материалов компонент композита, и коэффициент Пуассона ν ; примем объемную деформацию упругой, что позволит записать коэффициенты Пуассона материалов компонент в виде

$$\tilde{\nu}^{(i)} = \frac{1}{2} \left[1 - (1 - 2\nu_0^{(i)}) \frac{\tilde{E}^{(i)}}{E_0^{(i)}} \right].$$

Подставляя преобразованные величины $\tilde{\lambda}_{ij}$ в агрегат (9), получаем \tilde{L} в области преобразования. Агрегат L как функцию времени определим с помощью обратного преобразования Лапласа

$$L(t) = L^{-1} \{ \tilde{L} / s \}. \quad (10)$$

С помощью результатов работы [15] получим $L(t)$ в форме

$$L'(t) = \sum_{k=-n}^n \gamma_k e^{z_k t}, \quad t_j \leq t \leq \Lambda t_j \quad (11)$$

$$\left(\gamma_k = -\frac{h}{2\pi i} \left(\tilde{L}(z_k) / z_k \right) z'_k, \quad z_k = T(x_k); \quad T(x) = \lambda [1 - \sin(\alpha + ix)]; \right. \\ \left. z'_k = T'_x(x_k); \quad x_k = h \cdot k; \quad k = -n, \dots, n; \right. \quad (12)$$

$$\left. \lambda = \frac{2\pi d n (1 - \mathcal{G})}{t_0 \Lambda a_s(\mathcal{G})}; \quad h = \frac{a_s}{n}; \quad a_s(\mathcal{G}) = \text{arch}(\lambda s (1 - \mathcal{G}) \sin \alpha) \right),$$

где параметры a и d удовлетворяют дополнительному условию, а $0 < s < 1$, $0 < \mathcal{G} < 1$. Отметим также, что параметр Λ принимает значение порядка 10 и соответствующий ему интервал мал по сравнению с промежутками интегрирования в интегралах в уравнениях докритического роста трещины (см. п. 3). Поэтому возникает необходимость разбить упомянутый промежуток интегрирования и получить решение в виде (11) на каждом из интервалов.

Для определения вязкоупругого раскрытия необходима производная от $L(t)$, которую определим как $L'(t) = L^{-1} \{ \tilde{L} - \tilde{L}_\infty \}$. Коэффициенты представления этой функции можно получить аналогично тому, как это было определено для (10).

Процесс докритического стабильного роста трещины продольного сдвига (как и для трещины нормального отрыва) условно разделим на три периода [3]: инкубационный, переходной и основной. Исходя из принципа Вольтерра и соотношений для определения упругого сдвига берегов трещины (4) и (8), запишем выражение для вязкоупругого раскрытия трещины в точке $x_1 = a(t)$ в зависимости от ее положения на линии продолжения трещины.

1. При $x_1 = a_0$ (a_0 – начальный полуразмер трещины) имеем раскрытие для инкубационного периода, во время которого наблюдается сдвиг берегов трещины без ее роста

$$\Delta(t) = L_0 T a_0 \delta_0(1; \rho_i) + \int_0^t L'(t - \tau) T a_0 \delta_0(1; \rho_i) d\tau$$

или

$$\Delta(t) = L(t) T a_0 \delta_0(1; \rho_i) \quad (13)$$

– в случае отсутствия зависимости интенсивности внешней нагрузки от времени.

2. При $a_0 < x_1 a_0 + d_0$ (d_0 – начальный размер зоны предразрушения) имеем раскрытие для переходного периода

$$\Delta(t) = L_0 T a(t) \delta_0(1; \rho_i) + \int_0^{t_0} L'(t - \tau) T a_0 \delta_0(a(t) / a_0; \rho_i) d\tau + \int_{t_0}^t L'(t - \tau) T a(\tau) \delta_0(a(t) / a(\tau); \rho_i) d\tau,$$

где t_0 – продолжительность инкубационного периода (см. ниже); за время этого периода трещина стартует и проходит расстояние, которое равняется длине ее началь-

ной зоны предразрушения. Первое слагаемое в выражении является мгновенным значением раскрытия в вершине трещины, второе – раскрытием в точке $x_1 = a(t)$ трещины размера a_0 , которое получено на протяжении инкубационного периода, третье – раскрытием в точке $x_1 = a(t)$ трещины размера $a(\tau)$, которое получено на протяжении текущего периода. В случае отсутствия зависимости интенсивности внешней нагрузки получим выражение для раскрытия в следующем виде:

$$\Delta(t) = T \left[L_0 a(t) \delta_0(1; \rho_i) + [L(t) - L(t - t_0)] a_0 \delta_0(a(t) / a_0; \rho_i) + \int_{t_0}^t L'(t - \tau) a(\tau) \delta_0[a(t) / a(\tau); \rho_i] d\tau \right]. \quad (14)$$

3. При $x_1 > a_0 + d_0$ имеем раскрытие для основного периода

$$\Delta(t) = L_0 T a(t) \delta_0(1; \rho_i) + \int_{t'}^t L'(t - \tau) T a(\tau) \delta_0(a(t) / a(\tau); \rho_i) d\tau, \quad (15)$$

где t' определяется из уравнения $a(t) - a(t') = d(t)$; за время этого периода трещина медленно подрастает до своего критического размера, после чего начинается ее динамическое развитие.

В рамках концепции $\tau = \text{const}$ величины ρ_i в выражениях (13) – (15) являются постоянными и зависят только от относительного параметра трещиностойкости ρ_2 . В рамках концепции $d = \text{const}$ эти величины, согласно (6), зависят от величины d / a , которая не является постоянной во время роста трещины. Итак, в первых слагаемых выражений (14) и (15) будут ρ_i зависеть от $a(t)$, а в третьем слагаемом выражения (14) и во втором выражении (15) – от $a(\tau)$ (по переменной τ выполняется интегрирование).

3. Развитие трещины.

Для построения уравнений докритического развития трещины продольного сдвига в рамках обеих использованных концепций, запишем параметр критического раскрытия, который содержится в исходном уравнении (1), в виде

$$\delta_{III*} = L_0 T a_* \delta_0(1; \rho_i), \quad (16)$$

где ρ_i зависят от a_* при использовании концепции $d = \text{const}$.

Также введем обозначение

$$\zeta(\xi, \eta) = \eta \delta_0(\xi / \eta; \rho_i); \quad \zeta(\eta) = \zeta(\eta, \eta), \quad (17)$$

где $\eta = a / a_0$ – безразмерная длина трещины. При использовании концепции $d = \text{const}$ величины ρ_i зависят от η , когда эта величина превышает единицу.

Определяющие уравнения докритического роста трещины продольного сдвига получим на основании подхода, изложенного в [2, 3, 13], исходя из критерия разрушения (1), вязкоупругого сдвига берегов трещины (13) – (15). Для трех периодов развития трещины, учитывая (16) и (17), получаем:

$$\zeta_1 L_1(t_0) = \zeta_*, \quad (18)$$

$$\zeta[\eta(t)] + \zeta(\eta(t), 1) [L(t) - L(t - t_0)] + \int_{t_0}^t L'_1(t - \tau) \zeta[\eta(t), \eta(\tau)] d\tau = \zeta_*, \quad (19)$$

$$\zeta[\eta(t)] + \int_{t'}^t L'_1(t-\tau)\zeta[\eta(t), \eta(\tau)]d\tau = \zeta_* \quad (20)$$

на каждом из отмеченных этапов, соответственно. В уравнениях (18) – (20) $\eta(t) = a(t) / a_0$ – относительный размер трещины, $L_1(t) = L(t) / L_0$, $\zeta_* = \zeta(\eta_*)$, $\eta_* = a_* / a_0$. В уравнении (20) величина t' определяется из уравнения

$$\eta(t) - \eta(t') = d(t) / a_0 \quad \text{или} \quad \eta(t') = (1 - \rho_1)\eta(t), \quad (21)$$

если задачу решаем в рамках концепции постоянства напряжений в зоне предразрушения, и уравнения

$$\eta(t) - \eta(t') = \rho, \quad (22)$$

если задачу решаем в рамках концепции постоянства длины зоны предразрушения.

Решая последовательно уравнения (18) – (20), можно исследовать кинетику развития трещины сдвига, а также определить долговечность вязкоупругого композита с трещиной.

4. Численные решения и обсуждение результатов.

Зафиксируем характеристики материала наполнителя и введем коэффициенты, которые характеризуют взаимное расположение зависимостей от времени для модулей материалов армирования и наполнителя (согласно модельному представлению (3))

$$k_E = \lg \frac{E_0^{(1)}}{E_0^{(2)}}; \quad k_\beta = -\frac{1}{\alpha} \lg \frac{\beta^{(1)}}{\beta^{(2)}}; \quad k_1 = \lg \frac{E_0^{(1)}}{E_\infty^{(1)}}. \quad (23)$$

Первый из коэффициентов определяет соотношение между мгновенным модулем Юнга двух материалов, второй – отношение мгновенного и долговременного модулей Юнга для материала армирования, третий – сдвиг в положительном направлении оси времени кривой, которая описывает изменение во времени модуля материала армирования относительно зависимости изменения во времени модуля материала наполнителя.

Разобьем отрезок на продолжении трещины от точки a_0 до точки a_* на N отрезков Δa_i , $i = 1, 2, \dots, N$. Тогда уравнения (18) – (20) могут быть использованы для определения времени прохождения трещиной K -го узла разбивки

$$\eta(t_K) = \eta_K = 1 + \sum_{i=1}^N \Delta \eta_i; \quad \Delta \eta_i = \Delta a_i / a_0;$$

в пределах каждого из них будем строить решение в форме показательной функции

$$\eta(t) = \eta_{K-1} (\eta_K / \eta_{K-1})^{(t-t_{K-1})/\Delta t_K}; \quad \Delta t_K = t_K - t_{K-1}, \quad (24)$$

которая удовлетворяет условиям $\eta(t_{K-1}) = \eta_{K-1}$, $\eta(t_K) = \eta_K$.

Продолжительность инкубационного периода t_0 определим из уравнения (18). Моменты времени прохождения K -го узла разбивки определяем из уравнений:

$$\zeta(\eta_K) + \zeta(\eta_K, 1)[L(t_K) - L(t_K - t_0)] + \int_0^{t_K - t_0} L'_1(\theta)\zeta[\eta_K, \eta(t_K - \theta)]d\theta = \zeta_*, \quad (25)$$

если $1 < \eta_K \leq 1 + \rho_1$ ($\tau = \text{const}$) или $1 < \eta_K \leq 1 + \rho$ ($d = \text{const}$);

$$\zeta(\eta_K) + \int_0^{t_K - t'} L'_1(\theta)\zeta[\eta_K, \eta(t_K - \theta)]d\theta = \zeta_*, \quad (26)$$

если $\eta_K > 1 + \rho_1$ ($\tau = \text{const}$) или $\eta_K > 1 + \rho$ ($d = \text{const}$); $\eta(t_K - \theta)$ определяется согласно (24); согласно (21), (22) и (24) определим

$$t' = t_K - t_{I-1} - \frac{\ln(\eta' / \eta_{I-1})}{\ln(\eta_I / \eta_{I-1})} \Delta t_I,$$

где I удовлетворяет условию $\eta_{I-1} \leq \eta' \leq \eta_I$, $\eta' = (1 - \rho_1)\eta_K$ ($\tau = \text{const}$) или $\eta' = \eta_K - \rho$ ($d = \text{const}$).

Исходя из того, что для исследованного класса задач наблюдается увеличение ускорения при приближении этапа нестабильного роста трещины, выполним разбивку отрезка $[1, \eta_*]$ с возрастающими $\Delta\eta_K$, например, полагая длину каждого следующего отрезка разбивки в q раз большей длины предыдущего, т.е.

$$\eta_K = 1 + (\eta_* - 1)(q^K - 1) / (q^N - 1) \quad (K = 0, 1, \dots, N). \quad (27)$$

Отметим, что если M удовлетворяет равенству $\eta_M = 1 + \rho_1$ ($\tau = \text{const}$) или $\eta_M = 1 + \rho$ ($d = \text{const}$), то время $t_I = t_M - t_0$ является продолжительностью переходного периода, время $t_{II} = t_N - t_M$ — продолжительностью основного периода. Долговечность определяется величиной t_N .

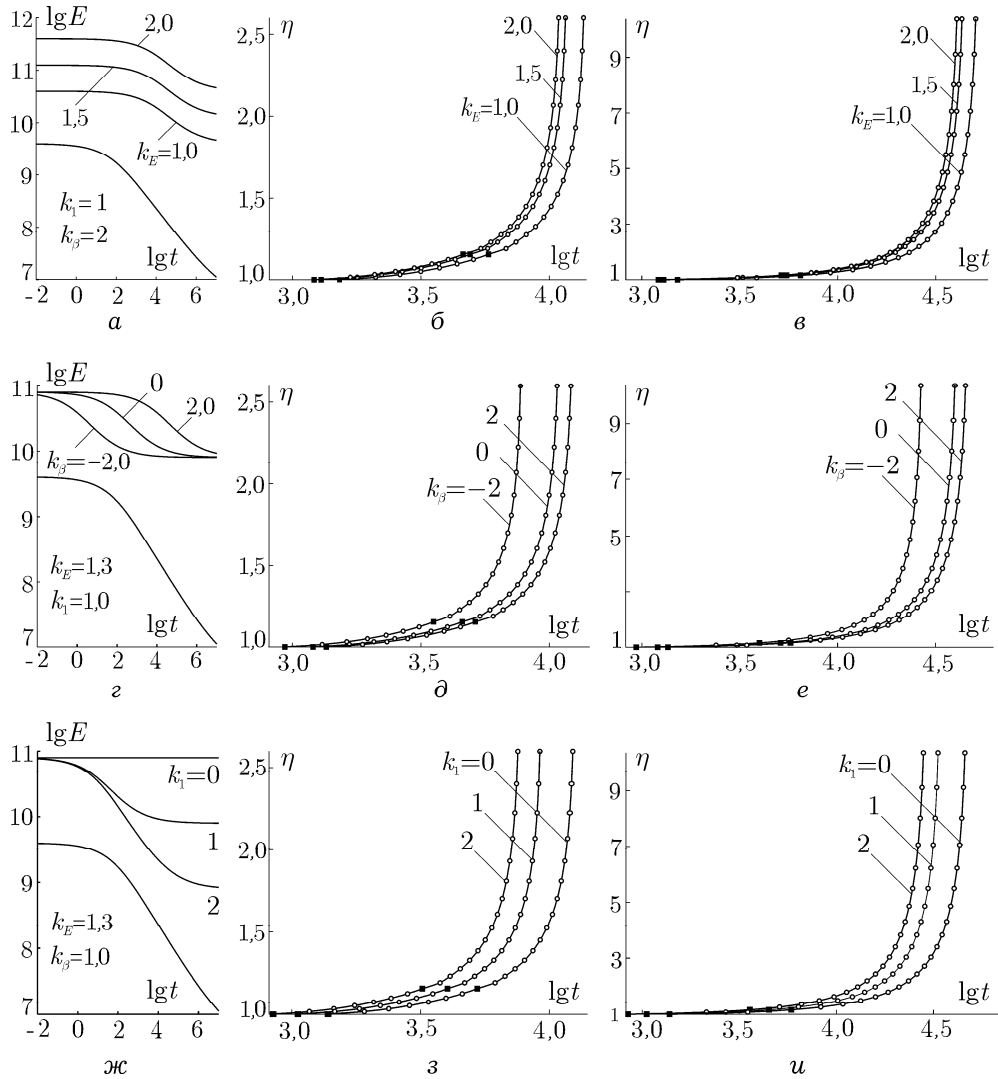


Рис. 2

На рис. 2, *a* представлено взаимное расположение кривых релаксации материала волокон и кривой релаксации наполнителя (нижняя кривая) для указанных значений k_E и фиксированных k_1 и k_β . Соответствующие кинетические диаграммы роста трещины в композитном теле в рамках концепции $\tau = \text{const}$ представлены на рис. 2, *б*.

На рис. 2, *в* представлены кинетические кривые для случая использования концепции $d = \text{const}$ для композита, релаксационные свойства компонент которого приведены на рис. 2, *a*.

Кинетические кривые, позволяющие оценить влияние на характер разрушения параметра k_β , для параметров, значения которых указаны на рис. 2, *з*, представлены на рис. 2, *д* (концепция $\tau = \text{const}$) и рис. 2, *e* (концепция $d = \text{const}$). Кинетические кривые, позволяющие оценить влияние на характер разрушения параметра k_1 , для параметров, значения которых указаны на рис. 2, *ж*, представлены на рис. 2, *з* (концепция $\tau = \text{const}$) и рис. 2, *и* (концепция $d = \text{const}$).

Диаграммы получены на основании решения уравнений (18), (25) (26) при следующих значениях параметров задачи: $k = 10$, $c_1 = 0,33$ (параметры формы и концентрации элементов армирования); $\alpha = 0,5$ (параметр функции Миттаг-Леффлера); $\nu_0^{(1)} = 0,3$ (мгновенный коэффициент Пуассона материала элементов армирования); $E_0^{(2)} = 4 \cdot 10^9$ Па, $\nu_0^{(2)} = 0,35$ (мгновенные характеристики наполнителя), $\beta^{(2)} = 0,1 \text{ сек}^{-\alpha}$ (реологический параметр наполнителя); $\eta_* = 5$, $\rho_2 = 3$ (параметры трещиностойкости). Другие реологические параметры определяются при помощи введенных в (23) коэффициентов, значение которых представлено на рисунке. Приведем также параметры для реализации обратного преобразования Лапласа согласно выражениям (11) и (12): $d = 0,7$, $\alpha = 0,8$, $n = 35$, $\Lambda = 5$, $\theta = 0,8$, $s = 0,5$. Таким образом, на каждом интервале изменения времени $[t_j, \Lambda t_j]$ мы получаем ядро в виде линейной комбинации 71 экспонент.

Разбивка интервала $[1, \eta_*]$ выполнена согласно к (27), причем параметр q выбран следующим образом: принимая q_0 незначительно большим единицы, вычисляем количество интервалов переходного периода как наименьшее натуральное число M большее M_0 – корня уравнения

$$1 + (q^{M_0} - 1) / (q^N - 1)(\eta_* - 1) = 1 + \rho_1; \quad (28)$$

дальше параметр q определен как корень уравнения (28) (с параметром M вместо M_0), ближайший к q_0 . Такое построение позволяет сохранить разбивку в виде геометрической прогрессии, без добавления отдельного узла в точку $1 + \rho_1$.

Количество интервалов в расчетах $N = 30$. Причем на рисунке показаны лишь части кинетических кривых для $\eta < 2,6 < 5 = \eta_*$ (на отсутствующей части существенно возрастает скорость распространения трещины).

Заполненные квадратики на каждой из кинетических кривых соответствуют продолжительности инкубационного периода и времени окончания переходного периода.

При расчетах, результаты которых приведены на рис. 2(*в*, *e*, *и*) сохранены все исходные параметры, кроме параметра η_* , который выбран таким образом, чтобы во время инкубационного периода параметр ρ_2 представлял такую же величину, которая была выбрана при исследовании в рамках концепции $\tau = \text{const}$; согласно (7) параметр $\rho = \cos^{-1}(\pi / 2\rho_2) - 1$; параметр M выбран как и при использовании концепции $\tau = \text{const}$, когда в выражении (28) вместо ρ_1 принято ρ .

Характер кинетических диаграмм развития трещины продольного сдвига качественно отвечает аналогичным диаграммам для трещины нормального отрыва, полученным в работах [2 – 4]. Близость долговечностей для разных значений одного из параметров k_E , k_1 и k_β и фиксированных других обусловлена соответствующими расхождениями между кривыми релаксации материала волокон на временном промежутке, в котором получено решение уравнений докритического развития трещины.

Изучение кривых на рис. 2 показывает, что использование модели с постоянной длиной зоны предразрушения приводит к получению больших значений долговечности, чем использование модели с постоянным напряжением в зоне предразрушения. Следовательно, если с помощью проведенных исследований не удастся определить, которой из моделей следует отдать предпочтение при прогнозировании развития трещин в том или ином композитном материале, тогда оценку долговечности следует выполнять по результатам исследования с использованием модели постоянного напряжения в зоне предразрушения.

РЕЗЮМЕ. В рамках нелинейной механики руйнування отримано рівняння розвитку тріщини подовжнього зсуву в композитному матеріалі, компоненти якого мають лінійно-в'язкопружні властивості. Дослідження проведено на основі двох моделей механізму розвитку тріщини: моделі сталості довжини зони передруйнування та моделі сталості напружень у цій зоні. Створену схему розв'язання задачі застосовано для побудови числового розв'язку у формі кінетичних кривих розвитку тріщини. Наведено аналіз отриманих результатів.

1. Ву Э. Прочность и разрушение композитов (Композиционные материалы, т. 5 – Разрушение и усталость, под. ред. Браутман Л.). – М.: Мир, 1978. – 484 с.
2. Гузь А.Н., Каминский А.А., Назаренко В.М. Механика разрушения. – К.: Наук. думка, 1996. – 340с. – (Механика композитов: в 12-ти т.; т. 5).
3. Каминский А.А. Разрушение вязкоупругих тел с трещинами. – К.: Наук. думка, 1990. – 310 с.
4. Каминский А.А., Гаврилов Д.А. Длительное разрушение полимерных и композитных материалов с трещинами. – К.: Наук. думка, 1992. – 248 с.
5. Кристенсен Р. Введение в механику композитов. – М.: Мир, 1982. – 336 с.
6. Панасюк В.В. Механика квазихрупкого разрушения материалов. – К.: Наук. думка, 1991. – 416 с.
7. Серенсен С.В., Зайцев Г.П. Несущая способность тонкостенных конструкций из армированных пластиков с дефектами. – К.: Наук. думка, 1982. – 295 с.
8. Хорошун Л.П., Маслов Б.П., Шкула Е.Н., Назаренко Л.В. Статистическая механика и эффективные свойства материалов. – К.: Наук. думка, 1993. – 390 с. – (Механика композитов: в 12 т.; т. 3).
9. Alex R., Schovanec L. An anti-plane crack in a nonhomogeneous viscoelastic body // Engng Fract. Mech. – 1996. – 1, N 5 – P. 727 – 735.
10. Herrmann J.M., Schovanec L. Quasi-static mode III fracture in a nonhomogeneous viscoelastic body // Acta Mech. – 1990. – 85, N 3 – 4. – P. 235 – 249.
11. Kaminsky A.A., Chernovian Yu.A. On certain numerical-analytical method of solving the boundary problems of linear theory of viscoelasticity of anisotropic body // Int. Appl. Mech. – 2010. – 46, N 5. – P. 509 – 517.
12. Kaminsky A.A., Selivanov M.F. Growth of a penny-shaped crack with a nonsmall fracture process zone in a composite // Int. Appl. Mech. – 2008. – 44, N 8. – P. 866 – 871.
13. Kaminsky A.A., Selivanov M.F. Determination and analysis of the effective relaxation properties of a composite with viscoelastic components // Int. Appl. Mech. – 2010. – 46, N 1. – P. 18 – 27.
14. Kaminsky A.A., Selivanov M.F. Mode II macrocrack initiation in orthotropic composite viscoelastic plate // Int. J. Fract. – 2006. – 139, N 1. – P. 153 – 160.
15. López-Fernández M., Palencia C., Schädle A. A spectral order method for inverting sectorial Laplace transforms // SIAM J. Numer. Anal. – 2006 – 44, N 3, P. 1332 – 1350.
16. Selivanov M.F. On the effective properties of linear viscoelastic composite // Int. Appl. Mech. – 2009. – 45, N 10. – P. 1139 – 1146.

Поступила 11.11.2010

Утверждена в печать 22.11.2012